



УДК 547.963.057:577.113.6

РЕАГЕНТЫ ДЛЯ НАПРАВЛЕННОЙ МОДИФИКАЦИИ БИОПОЛИМЕРОВ.

VII*. ЗАМЕЩЕННЫЕ ПЕРФТОРАРОМАТИЧЕСКИЕ АЗИДЫ. ВЛИЯНИЕ ЗАМЕСТИТЕЛЕЙ НА ФОТОХИМИЧЕСКИЕ СВОЙСТВА И ЭФФЕКТИВНОСТЬ ФОТОМОДИФИКАЦИИ ИМИ НУКЛЕИНОВЫХ КИСЛОТ

© 1996 г. М. И. Добриков[#], Р. Ю. Дудко, А. С. Левина, Л. М. Халимская*, Г. В. Шишкин

Новосибирский институт биоорганической химии СО РАН,
630090, Новосибирск, просп. Акад. Лаврентьева, 8;

*Новосибирский государственный университет

Поступила в редакцию 20.03.95 г. После доработки 10.10.95 г.

Пиридин-илидным методом изучены и сопоставлены фотохимические свойства девяти перфторароматических и двух ароматических азидов. Оценена относительная реакционная способность образующихся при фотолизе частиц. Показано, что увеличение цепи сопряжения перфторароматических азидов вызывает батохромный и гиперхромный сдвиги в спектре поглощения, увеличивает фотоактивность и скорость интеркомбинационной конверсии генерируемых нитренов. Исследована триплетная сенсибилизация фотолиза азидов протонным растворителем – метанолом. Осуществлен синтез олигонуклеотидного производного *n*-азидотетрафторбензальдоксима и проведена комплементарно-адресованная фотомодификация им ДНК-мишени. Предложены модели фотомодификации нуклеиновых кислот в составе комплементарного комплекса и в растворе, пригодные для тестирования ароматических азидов. Согласно этим моделям, направленная фотомодификация ДНК-мишени, вероятно, происходит только в плотном комплексе, когда расстояние между основанием-мишенью и азидом почти равно сумме их ван-дер-ваальсовых радиусов.

Ключевые слова: перфторароматические азиды, олигонуклеотиды, комплементарно-адресованная фотомодификация.

Ранее было показано, что перфторированные ароматические азиды являются эффективными и перспективными реагентами для комплементарно-адресованной фотомодификации нуклеиновых кислот (НК) [2–6], причем высказывалось предположение, что в реакциях модификации НК ведущую роль играют электрофильные синглетные нитрены, генерируемые при облучении ароматических азидов. Это предположение было основано на работах [7, 8], в которых показано, что для протекания таких фотореакций необходимо наличие атомов фтора в *ортого*- и *ортого'*-положениях к азидогруппе и желательно их присутствие в *мета*- и *мета'*-положениях.

Сокращения: НК – нуклеиновая кислота, S – синглетный нитрен; Т – триплетный нитрен; Ket – кетенимин (1-азациклогептатетраен); Руг – пиридин; YS – илид синглетного нитрена; YKet – илид кетенимина; ISC – интеркомбинационная конверсия синглетного нитрена в триплетный; EXP – реакция расширения бензольного цикла до кетенимина. В работе использованы олигонуклеотиды только дезоксирибонуклеиновой кислоты, поэтому префикс дезоксирибо- в названиях опущен.

* Сообщение VI см. [1].

[#] Автор для переписки.

Цель настоящей работы – исследовать влияние *пара*-заместителей в перфторфенилазидах на реакционную способность фотогенерируемых из них нитренов и подобрать простую модель, с хорошим приближением воспроизводящую условия протекания фотохимических реакций в комплементарных комплексах НК, для тестирования фотореагентов на основе ароматических азидов.

Основным методом изучения реакционноспособных частиц, образующихся при фотодиссоциации ароматических азидов, является низкотемпературный флекс-фотолиз в замороженных матрицах [9]. Однако получаемые данные малопригодны для объяснения и предсказания результатов по комплементарно-адресованной фотомодификации НК, поскольку реакционная способность интермедиатов сильно зависит от температуры [10].

В работах [8, 11–13] предложен удобный способ определения типа и мультиплетности реакционноспособных частиц, образующихся при фотолизе фторированных ароматических азидов. Он основан на комбинированном использовании

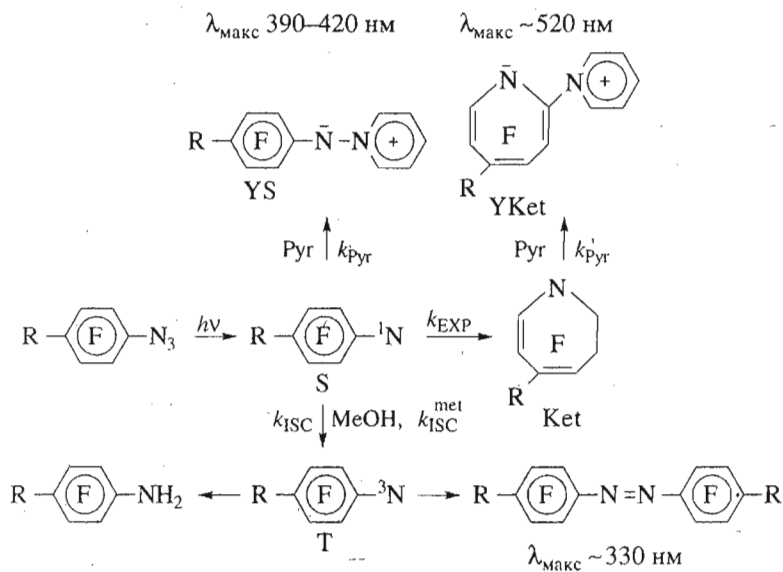


Схема.

химических ловушек интермедиатов (пиридин) и сенсибилизаторов (метанол) и формально является разновидностью динамического штерн-фольмеровского метода тушения возбужденных состояний [14]. Было установлено, что в этих условиях протекают реакции [8, 13], представленные на схеме.

Для инициирования процесса проводят импульсный (10 нс) лазерный фотолиз при $\lambda = 308 \text{ nm}$ в бескислородных условиях. Синглетный нитрен S , первоначально образующийся при фотодиссоциации арилазида, либо реагирует с пиридином, давая стабильный илид YS , либо в ходе реакции расширения цикла (EXP) перегруппировывается в кетенимин Ket , либо претерпевает интеркомбинационную конверсию (ISC) в триплетный нитрен T . Добавление метанола или других триплетных сенсибилизаторов ускоряет ISC. В свою очередь кетенимин реагирует с пиридином, образуя нестабильный илид YKet .

Илиды имеют характерное поглощение в видимой области (для продуктов превращения пентафторфенилазида $\lambda_{\text{max}} (\text{YS}) = 390 \text{ nm}$ и $\lambda_{\text{max}} (\text{YKet}) = 520 \text{ nm}$), а основные продукты, образующиеся из триплетного нитрена T – амины и азосоединения – поглощают при 330 nm [12]. Это позволяет одновременно регистрировать продукты превращений всех трех реакционноспособных частиц (S , T и Ket).

При фотолизе в растворах пиридина константа скорости расходования нитрена S равна:

$$k = k_{\text{Pyr}}[\text{Pyr}] + k_{\text{ISC}} + k_{\text{EXP}}, \quad (1)$$

где k_{ISC} и k_{EXP} – константы скоростей внутримолекулярных реакций ISC и EXP; k_{Pyr} – константа скоп-

ности бимолекулярной реакции нитрена S с пиридином.

В работе [8] показано, что при фотолизе перфторированных азидов в 100% пиридине количественно идет образование илида YS , и делается допущение, что при понижении концентрации пиридина до значений $[\text{Pyr}]_{1/2}$, при которых накопление илида YS достигает только половины максимальной возможной концентрации, скорость образования илида YS равна сумме скоростей образования нитрена T и кетенимина, т.е. генерируемый синглетный нитрен S полностью расходуется по трем указанным выше направлениям. При этом должно выполняться уравнение

$$k_{\text{Pyr}}[\text{Pyr}]_{1/2} = k_{\text{EXP}} + k_{\text{ISC}}. \quad (2)$$

Но поскольку k_{EXP} для перфторированных азидов мала по величине и слабо зависит от заместителей в *пара*-положении [8], то ее вкладом можно пренебречь. Тогда уравнение (2) упрощается:

$$k_{\text{Pyr}}[\text{Pyr}]_{1/2} = k_{\text{ISC}}. \quad (3)$$

Недостатками метода, препятствующими его широкому использованию, являются необходимость проведения экспериментов в бескислородных условиях и особенно применение монохроматического излучения наносекундного ультрафиолетового химического лазера с многоканальным анализатором. Мы попытались упростить метод, используя кислородные условия и постоянное облучение фильтрованным светом (303–313 nm) ртутной лампы высокого давления. Такое упрощение не позволяет определять абсолютные значения констант, но дает возможность оценить их соотношения согласно уравнениям (2) и (3).

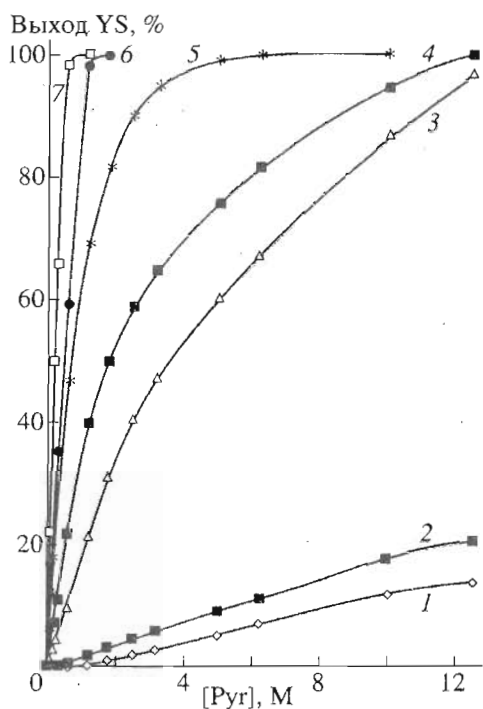
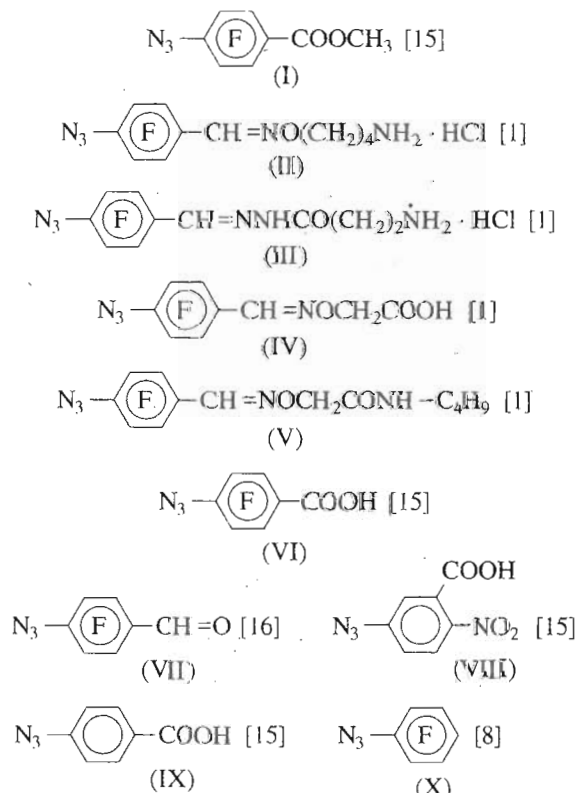


Рис. 1. Зависимость выхода илидов YS синглетного нитрена от концентрации пиридина при фотолизе перфторароматических и ароматических азидов в гептане (λ 303–313 нм; t 20 мин для азидов (II–V, VII, VIII) и 3 ч для азидов (I, VI, IX)): 1 – (IX), 2 – (VII), 3 – (III), 4 – (II), (IV), (V), 5 – (VII), 6 – (VI), 7 – (I).

В настоящей работе исследовались следующие азиды, описанные в указанных статьях:



На рис. 1 представлены данные экспериментов по фотолизу ароматических и перфторароматических азидов в гептановых растворах с различной концентрацией пиридина. Кривая 7 для азода (I) практически совпадает с аналогичной кривой из работы [12], полученной методом лазерного флуориметрии. Следовательно, предлагаемое упрощение метода не должно приводить к большим ошибкам при определении кинетических параметров. Сделав допущение, вытекающее из неплоского строения пиридиновых илидов YS, что для всех генерированных илидов YS молярные коэффициенты поглощения при λ_{\max} в области 390–420 нм близки, можно сопоставить кинетические кривые фотолиза для всех исследованных азидов.

Видно, что выход илидов YS для всех перфторированных азидов намного выше, чем для нефтотированых, и при фотолизе в чистом пиридине его величина практически выходит на плато, соответствующее, по данным работ [12, 13], ~100%. В отдельном эксперименте с помощью ТСХ было показано, что при фотолизе перфторированных азидов (I)–(VII) действительно образуется единственный продукт, обладающий характерным поглощением илида YS.

Из полученных кривых (рис. 1) по уравнению (3) оценены соотношения констант $k_{\text{Py}}/k_{\text{ISC}}$.

Из табл. 1 следует, что величина соотношения констант сильно зависит от заместителя, находящегося в *пара*-положении к азидогруппе. Наибольшее соотношение $k_{\text{Py}}/k_{\text{ISC}}$ для перфторарилазидов (I), (X), затем для азода (VI), содержащего менее электроноакцепторный заместитель ($-\text{COO}^-$), и еще меньше для азода (VII), содержащего заместитель ($-\text{CH}=\text{O}$), способствующий реакции ISC (но при этом образование илида YS все же остается основным процессом).

Для соединений (II)–(V) с более длинной цепью сопряжения соотношение $k_{\text{Py}}/k_{\text{ISC}}$ снижается еще больше, причем видно, что уменьшение этого соотношения в перфторированных азидах коррелирует с батохромным сдвигом спектра их поглощения. Вероятно, увеличение k_{ISC} обусловлено длинноволновым сдвигом полосы поглощения перфторарилазидов. Это согласуется с литературными данными [7] об ускорении ISC при введении хромофорных групп типа ($-\text{NO}_2$) в *пара*-положение к азидогруппе в перфторароматических соединениях. Тем не менее соотношение $k_{\text{Py}}/k_{\text{ISC}}$ для всех перфторированных ароматических азидов намного больше, чем для нефтотированных соединений (VIII) и (IX), что позволяет надеяться на то, что все перфторированные ароматические азиды, описанные в настоящей работе, окажутся эффективными реагентами для комплементарно-адресованной фотомодификации нуклеиновых кислот.

Метанол, как и другие протонные растворители, способен к образованию с нитренами S и T

водородных связей, которые стабилизируют интермедиаты и ускоряют реакцию ISC [13]. При этом обычно наблюдается значительное уменьшение выхода илида YS и увеличение выхода продуктов реакции триплетного нитрена. Такое влияние протонного растворителя на выход илида YS может служить моделью неспецифической модификации биополимеров вне аффинного комплекса, т.е. из раствора.

Для оценки склонности разных азидов к сенсибилизации метанолом нами исследована зависимость выхода илида YS от концентрации метанола при постоянной концентрации пиридина в гептане. Когда $[Pyr] \gg [Pyr]_{1/2}$, вкладами внутримолекулярных превращений ISC и EXP можно пренебречь ($k_{ISC} + k_{EXP} \ll k_{Pyr} \cdot [Pyr]$). Тогда справедливо отношение Штерна–Фольмера [12]:

$$\left(\frac{[YS]}{[YS]^{\text{met}}} - 1 \right) \cdot [Pyr] = \frac{k_{ISC}^{\text{met}}}{k_{Pyr}} \cdot [\text{CH}_3\text{OH}], \quad (4)$$

где $[YS]$ и $[YS]^{\text{met}}$ – концентрации образующегося илида в отсутствие и в присутствии метанола соответственно; k_{ISC}^{met} – константа скорости ISC в присутствии метанола.

Для азидов (I)–(IX) строили графики в координатах $\left(\frac{[YS]}{[YS]^{\text{met}}} - 1 \right) \cdot [Pyr]; [\text{CH}_3\text{OH}]$. На рис. 2 представлены полученные данные. При $[\text{CH}_3\text{OH}] \ll 5 \text{ M}$ во всех случаях наблюдалась линейная зависимость. Исходя из этого и для того, чтобы выполнялось неравенство $(k_{ISC} + k_{EXP}) \ll k_{Pyr} \cdot [Pyr]$, оптимальное значение концентрации пиридина должно быть 10 М. По углу наклона прямых определяли $(k_{Pyr}/k_{ISC}^{\text{met}})$. Полученные значения также приведены в табл. 1.

Наибольшее соотношение наблюдается для гидрофобного азida (I) и положительно заряжен-

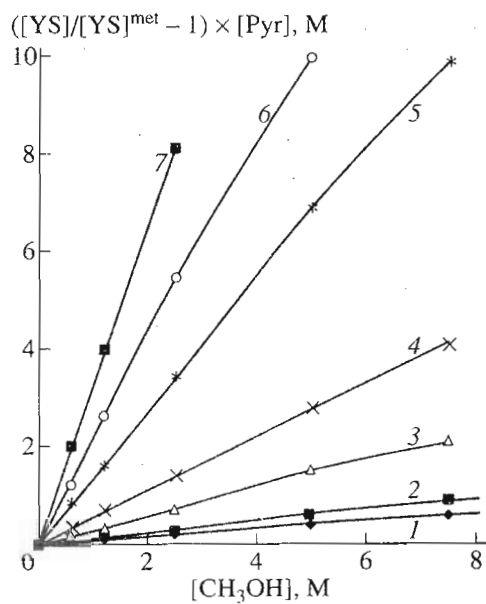


Рис. 2. Штерн–Фольмеровское гашение нитрена S метанолом. Зависимость величины $([YS]/[YS]^{\text{met}} - 1) \cdot [Pyr]$ при фотолизе ароматических и перфторарomaticих азидов в пиридине от концентрации метанола: 1 – (I), (III), 2 – (II), 3 – (V), 4 – (IV), 5 – (VIII), 6 – (VI), 7 – (VII).

ных азидов (II) и (III). Наиболее склонными к сенсибилизации метанолом оказались отрицательно заряженные соединения (IV), (VI) и (VIII), а также азид (VII), способный к химическому взаимодействию с метанолом. В целом соотношения констант различаются на 1.5 порядка для разных азидов; следовательно, на эффективность данного процесса можно влиять с помощью заместителей.

Для проверки того, насколько пиридин-илидный метод пригоден при оценке эффективности комплементарно-адресованной модификации, была проведена фотомодификация гексадекануклеотида-мишени (XI) светочувствительным октануклеотидным производным (XII). Производное

Таблица 1. Соотношения констант k_{Pyr}/k_{ISC} , $k_{Pyr}/k_{ISC}^{\text{met}}$, k_{Pyr}/k_{EXP} и длина волны поглощения $\lambda_{\text{макс}}$ для ароматических азидов*

Соединение	$\lambda_{\text{макс}}$, нм	Соотношение констант			Соединение	$\lambda_{\text{макс}}$, нм	Соотношение констант		
		$k_{Pyr}/k_{ISC}, \text{M}^{-1}$	$k_{Pyr}/k_{ISC}^{\text{met}}, \text{M}^{-1}$	$k_{Pyr}/k_{EXP}, \text{M}^{-1}$			$k_{Pyr}/k_{ISC}, \text{M}^{-1}$	$k_{Pyr}/k_{ISC}^{\text{met}}, \text{M}^{-1}$	$k_{Pyr}/k_{EXP}, \text{M}^{-1}$
(IV)	287	0.5	2.0	–	(I)	255	15.1	10.2	–
(V)	289	0.5	3.5	–	(IX)	271	–	2.4 [#]	5.0 [#]
(II)	289	0.5	10.5	–	(VIII)	306	≤ 0.01 ^{##}	–	0.015
(III)	306	0.25	11.0	–	(X)	251	0.03	0.75	0.01 ^{##}
(VII)	280	2.0	0.3	–			10.0 [#]	4.6 [#]	16.0 [#]
(VI)	258	3.0	0.4	–					

* (–) – соотношение констант не определяли. k_{Pyr}/k_{EXP} оценили только для азида (IX), для которого образование кетенимина (EXP) является основным процессом. Видно, что полученное значение согласуется с литературными данными.

[#] и ^{##} – литературные данные [8] и [12].

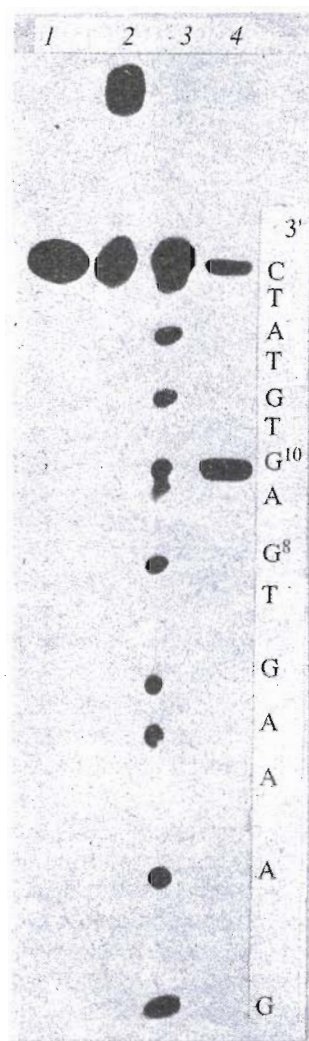
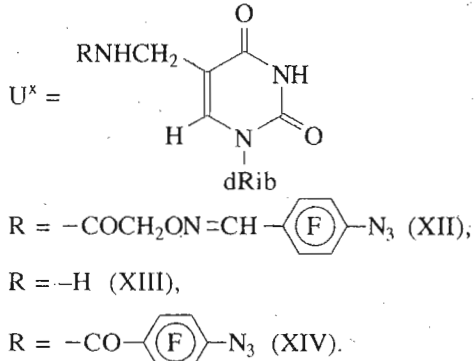
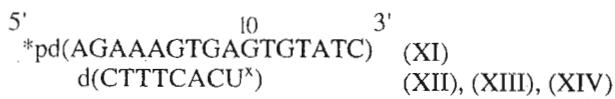


Рис. 3. Радиоавтограф продуктов фотомодификации мишени (XI) олигонуклеотидным реагентом (XII) до (2) и после (4) обработки пиперидином. 1 – исходная мишень, 3 – продукты расщепления мишени по остаткам пуринов.

(XII) содержит остаток кислоты (IV), присоединенный к гетероциклическому основанию на 5'-конце октануклеотида.



Олигонуклеотид, содержащий предварительно введенную алифатическую аминогруппу в 5-м положении дезоксиуридина (XIII), синтезировали как описано в работе [17]. Его фотоактивное производное (XII) получали ацилированием соединения (XIII) $\text{O}-(\text{сукцинидио-}\text{N}\text{-окси})\text{карбонилметил}$ -*n*-азидотетрафторбензальдоксимом, описанным в [1], по методике, приведенной в работе [3]. Продукт реакции выделяли с помощью обращенно-фазовой хроматографии (ОФХ).

Так как нас интересовала возможность сравнить максимальную степень модификации ДНК, достигаемую с помощью олигонуклеотидных производных разных фотопреагентов, то фотомодификацию ДНК-мишени проводили в условиях, оптимизированных ранее [4] для *n*-азидотетрафторбензамидного производного (XIV), хотя по данным работы [1] фотоактивность азидов (IV) и (VI), остатки которых входят в состав производных (XII) и (XIV), существенно разная.

Результаты электрофоретического анализа продуктов комплементарно-адресованной фотомодификации представлены на рис. 3. Видно, что при облучении реакционной смеси образуются продукты ковалентного присоединения производного (XII) к мишени с электрофоретической подвижностью меньшей, чем у исходного гексадекануклеотида (XI). Выход ковалентных аддуктов составляет 57%. Это несколько ниже, чем для *n*-азидотетрафторбензамидного производного (XIV), степень модификации которых составляет 69% [4].

Для определения позиционной направленности фотомодификации реакционную смесь обрабатывали пиперидином и анализировали гель-электрофорезом (рис. 3). Видно, что основной точкой модификации мишени является остаток G^{10} , расположенный в комплексе рядом с фотоактивной группой. В отличие от олигонуклеотидного фотопреагента (XIV), который давал как щелочестабильные, так и щелочелабильные продукты [4], фотопреагент (XII) дает только расщепляемые пиперидином продукты. Следовательно, при использовании олигонуклеотидного производного (XII) фотомодификация ДНК-мишени идет более селективно.

В табл. 2 представлены данные о выходе ковалентных аддуктов, образующихся при облучении одной и той же системы ДНК-матрица–олигонуклеотид, несущей разные фотоактивные группировки; о соотношении констант, полученных с помощью пиридин-илидного метода для исходных азидов; об относительной эффективности фотомодификации ДНК-мишени; о выходе илида YS в 6 М пиридине. Сопоставление эффективности комплементарно-адресованной фотомодификации

Таблица 2. Кинетические характеристики фотолиза азидов и эффективность комплементарно-адресованной фотомодификации ДНК-матрицы

Характеристики	(VI)	(IV)	(III)	(VIII)	(IX)
$k_{\text{Pyg}}/(k_{\text{ISC}} + k_{\text{EXP}})$, M^{-1}	3	0.5	0.25	0.03	0.015
Степень модификации ДНК-мишени олигонуклеотидными производными этих азидов (выход ковалентных аддуктов, %)	69*	57	33**	15***	<5***
Относительная эффективность фотомодификации ДНК-мишени, %	100	82	48	21	7
Выход илида YS в 6 М пиридине, %	100	82	65	11	8

* Данные работы [3].

** Данные работы [18].

*** Данные работы [4].

ДНК-матрицы олигонуклеотидными производными реагентов (IV), (VI), (VIII), (IX) и соотношения констант $k_{\text{Pyg}}/(k_{\text{ISC}} + k_{\text{EXP}})$ позволяет сделать вывод, что фотолиз в гептане в присутствии пиридина достаточно хорошо моделирует процессы фотомодификации НК внутри комплементарного комплекса. Вероятно, основное направление такой модификации действительно связано с электрофильной атакой синглетных нитренов по атомам азота оснований НК пиридинового типа.

Если принять эффективность фотомодификации ДНК-мишени олигонуклеотидным производным фотопротеина (VI) за 100%, то наилучшее соответствие результатов по модификации ДНК и по выходу илида YS наблюдается при фотолизе в 6 М пиридине (см. рис. 1). При такой концентрации пиридина среднестатистическое расстояние между молекулами азода и пиридина составляет около 6 Å, что практически равно сумме их ван-дер-ваальсовых радиусов [14]. Это позволяет предположить, что фотомодификация ДНК-мишени в комплементарных комплексах протекает только тогда, когда и там расстояние между азидом и основанием-мишенью ненамного превышает сумму ван-дер-ваальсовых радиусов.

При значении $[\text{Pyg}] = 6 \text{ M}$ соотношение

$$\frac{k_{\text{Pyg}} \cdot [\text{Pyg}]}{k_{\text{ISC}} + k_{\text{EXP}}}$$

для всех исследованных перфторароматических азидов больше 1; следовательно, все они являются достаточно перспективными фотопротеинами для комплементарно-адресованной фотомодификации нуклеиновых кислот.

Таким образом, в данной работе было изучено влияние пара-заместителей на фотопротеинную способность перфторарилазидов и предложены модели фотомодификаций НК внутри комплементарного комплекса и неспецифической модификации из раствора, пригодные для тестирования фотопротеинов. Предложенные модели от-

крывают новые возможности при направленном конструировании реагентов для высокоэффективной комплементарно-адресованной фотомодификации НК.

ЭКСПЕРИМЕНТАЛЬНАЯ ЧАСТЬ

В работе использовали олигонуклеотиды pd(AGAAAGTGAGTGTATC) (XI) и d(CTTTCACU^x) (XII), синтезированные *H*-фосфонатным методом на синтезаторе "Виктория-6М" по карте-схеме операций, описанной в [18, 19], в НИБХ СО РАН; акриламид и N,N'-метиленбисакриламид (Serva, Германия).

Выделение и очистку производных олигонуклеотидов проводили обращенно-фазовой хроматографией на хроматографе Waters 600-E (колонка (4.6 × 250 мм) со смолой Lichrosorb RP-18 в градиенте концентраций ацетонитрила от 0 до 50% в 0.05 M LiClO₄, скорость элюции 2 мл/мин).

Фотохимические свойства реагентов, фотомодификацию ДНК и сенсибилизованный фотолиз осуществляли облучением неконденсированным светом ртутной лампы высокого давления ДРК-120 осветителя ОИ-18А (ЛОМО, Санкт-Петербург), фильтрованным следующими наборами стеклянных светофильтров (λ , нм; W , Вт cm^{-2}): ЖС-3, УФС-2 (303–313, 1×10^{-4}); БС-12, УФС-1 (303–365, 5×10^{-4}) и ЖС-10 (>400 , 1×10^{-3}). Мощность излучения лампы в УФ-диапазоне определяли с помощью ферриоксалатного актинометра, а в видимой части спектра – с помощью люксметра Ю-16 (ЛОМО, Санкт-Петербург).

Фотолиз арилазидов в растворах пиридина

Изучение фотохимических свойств реагентов проводили как описано в [12]. Концентрации всех перфторарилазидов при облучении в растворах пиридина составляли $2 \times 10^{-4} \text{ M}$. Образцы облучали через светофильтры ЖС-3, УФС-2 до исчезновения исходного азида по данным ТСХ в системе этанол–хлороформ, 1 : 10. В качестве инертного

растворителя использовали гептан. Концентрации пиридина (М) при фотолизе азидов: (I), (VI) – 0.07, 0.2, 0.3, 0.6, 1.2, 2.5, 12.5; (II), (IV), (V) – 0.3, 0.6, 1.2, 1.8, 3.2, 5.0, 6.2, 10.0, 12.5; (III) – 0.6, 1.2, 2.5, 5.0, 6.2, 10.0, 12.5; (VII) – 0.6, 1.8, 5.0, 6.2, 10.0, 12.5; (VIII), (IX) – 0.8, 3.1, 6.2, 10.0, 12.5.

Фотолиз в растворах пиридина с добавлением метанола. Концентрация пиридина в гептане при облучении азидов (I–III) – 0.6 М, (IV, V, VIII) – 6.2 М и при облучении (VI, VII) – 10.0 М. Концентрации метанола (М) составляли:

(I, II, III) – 0, 0.3, 0.6, 1.2, 2.5, 5.0, 10.0, 24.0; (IV, V, VIII) – 0, 0.3, 1.2, 2.5, 5.0, 7.5; (VI) – 0, 0.3, 1.2, 2.5, 5.0; (VII) – 0, 0.3, 0.8, 1.8, 2.5.

Октануклеотидное производное п-азидотетрафторбензальдоксамина (XII)

Фотоактивное производное олигонуклеотида (XIII) получали как описано ранее в работе [3], однако время реакции увеличили в 3 раза.

К раствору 0.1 мкмоль (XIII) в 15 мкл смеси воды–DMF (1 : 2) прибавляли раствор 6 мкмоль О-[сукцинимидо-N-окси]карбонилметил]-*p*-азидотетрафторбензальдоксамина, синтезированного как описано в [1], в 20 мкл DMF порциями по 10, 5 и 5 мкл с интервалом в 1.5 ч. Через 4.5 ч от начала реакции смесь обрабатывали 1.1 мл 2% раствора LiClO₄ в ацетоне. Осадок промывали ацетоном и производное (XII) выделяли с помощью ОФХ, время удержания 16 мин. Выход продукта (XII) 25%. УФ-спектры в воде, $\lambda_{\text{макс}}$ (нм): 266 (XIII); 269 (XII).

Коэффициент молярного поглощения ($\epsilon_{260} = 8 \times 10^4 \text{ M}^{-1} \text{ см}^{-1}$) для производного (XII) считали равным сумме значений ϵ_{260} для олигонуклеотида (XIII) – $6.5 \times 10^4 \text{ M}^{-1} \text{ см}^{-1}$ и модельного соединения (V) – $1.5 \times 10^4 \text{ M}^{-1} \text{ см}^{-1}$. Значение ϵ_{260} для соединения (XIII) рассчитывали по методу [20]. В УФ-спектре производного (XII) наблюдается плечо в области 290 нм, соответствующее поглощению фотопротеагента (IV). Отношение $\epsilon_{260}/\epsilon_{290} = 10.7$ для исходного олигонуклеотида (XIII) и 3.0 для продукта (XII), что практически соответствует стехиометрическому соотношению олигонуклеотид–фотопротеагент 1 : 1.

Фотомодификация октадекануклеотида pd(AGAAAGTGAGTGTATC) (XI)

Образцы (по 20 мкл), содержащие 5'-³²P-меченный олигонуклеотид (XI) ($5 \times 10^{-6} \text{ M}$) и фотоактивное олигонуклеотидное производное (XII) ($5 \times 10^{-5} \text{ M}$) в буфере 0.16 М NaCl – 0.02 М Na₂HPO₄ –

0.1 М EDTA (рН 7.5), помещали в 1-мм кювету, охлаждали вместе с металлическим кюветодержателем до 4°C и экспонировали 5 мин с использованием набора светофильтров BC-12, УФС-1 (303–365 нм). Реакционные смеси до и после обработки пиперидином (10% пиперидин, 40 мин, 100°C) анализировали с помощью гель-электрофореза в 20% полиакриламидном геле в денатурирующих условиях (8 М мочевина, 0.05 М трис-борат, рН 8.3, 1 mM EDTA). Денситометрические профили дорожек радиоавтографа получали, используя лазерный сканер (LKB Ultroscan XL, Швеция). Степень модификации определяли как отношение площади пика на денситограмме для соответствующей полосы к суммарной площади всех пиков.

Настоящая работа поддержана Международным научным фондом (Фонд Сороса) (грант № RCU 300) и грантом Государственной научно-технической программы “Новейшие методы биоинженерии” (направление “Ген-направленные биологически активные вещества”, проект 2, грант № 6).

СПИСОК ЛИТЕРАТУРЫ

- Добриков М.И., Дудко Р.Ю., Шишкин Г.В. // Биоорганская химия. 1996. Т. 22. С. 191–199.
- Добриков М.И., Зарытова В.Ф., Комарова Н.И., Левина А.С., Лохов С.А., Приходько Т.А., Шишкин Г.В., Табатадзе Д.Р., Заалишвили М.М. // Биоорганская химия. 1992. Т. 18. С. 540–549.
- Добриков М.И., Горн В.В., Зарытова В.Ф., Левина А.С., Приходько Т.А., Шишкин Г.В., Табатадзе Д.Р., Заалишвили М.М. // Биоорганская химия. 1992. Т. 18. С. 1190–1196.
- Левина А.С., Табатадзе Д.Р., Зарытова В.Ф., Добриков М.И., Горн В.В., Халимская Л.М., Шишкин Г.В. // Биоорганская химия. 1994. Т. 20. С. 21–29.
- Левина А.С., Табатадзе Д.Р., Зарытова В.Ф., Добриков М.И., Горн В.В. // Биоорганская химия. 1994. Т. 20. С. 30–39.
- Levina A.S., Berezovskii M.V., Venjaminova A.G., Dobrikov M.I., Repkova M.N., Zaritova V.F. // Biochimie. 1993. V. 75. P. 25–27.
- Saundararajan N., Platz M.S. // J. Org. Chem. 1990. V. 55. P. 2034–2044.
- Schnapp K.A., Platz M.S. // Bioconjugate Chem. 1993. V. 4. P. 178–183.
- Leyva E., Chang D.H.S., Platz M.S., Watt D.S., Crocker P.J., Kawada K. // Photochem. Photobiol. 1991. V. 54. P. 329–333.
- Shaffer M.W., Platz M.S. // Tetrahedron Lett. 1989. V. 30. P. 6465–6468.
- Schuster G.B., Platz M.S. // Adv. Photochem. 1992. V. 17. P. 119–135.
- Poe R., Schnapp A.K., Young M.J.T., Grayzar J., Platz M.S. // J. Am. Chem. Soc. 1992. V. 114. P. 5054–5067.

13. Schnapp K.A., Poe R., Leyva E., Saundararajan N., Platz M.S. // Bioconjugate Chem. 1993. V. 4. P. 172–177.
14. Лакович Дж. // Основы флуоресцентной спектроскопии: Пер. с англ. М.: Мир, 1986. С. 262–344.
15. Добриков М.И., Приходько Т.А., Сафонов И.В., Шишкин Г.В. // Сиб. хим. журн. 1992. Вып. 2. С. 18–23.
16. Михалина Т.В., Фокин Е.П. // Изв. СО АН СССР. Сер. хим. наук. 1988. Вып. 3. С. 92–95.
17. Зарытова В.Ф., Комарова Н.И., Левина А.С., Лохов С.Г., Табатадзе Д.Р., Халимская Л.М., Александрова Л.А. // Биоорган. химия. 1991. Т. 17. С. 1059–1065.
18. Добриков М.И., Гайдамаков С.А., Кошкин А.А., Лукьянчук Н.П., Шишкин Г.В., Власов В.В. // Докл. РАН. 1995. Т. 344. С. 122–125.
19. Веняминова А.Г., Горн В.В., Зенкова М.А., Комарова Н.И., Репкова М.Н. // Биоорган. химия. 1990. Т. 16. С. 941–950.
20. Cantor C.R., Tinoco J. // J. Mol. Bio. 1965. V. 13. P. 65–77.

Reagents for Directed Modification of Biopolymers.

VII.¹ Substituted Perfluoroaromatic Azides.

The Effect of Substituents on Photochemical Properties and Efficiency of Nucleic Acid Photomodification

M. I. Dobrikov,² R. Yu. Dudko, A. S. Levina, L. M. Khalimskaya*, and G. V. Shishkin

*Novosibirsk Institute of Bioorganic Chemistry, Siberian Division, Russian Academy of Sciences,
pr. Akademika Lavrent'eva 8, Novosibirsk, 630090 Russia*

**Novosibirsk State University, ul. Pirogova 2, Novosibirsk, 630090 Russia*

Abstract—Photochemical properties of nine perfluoroaromatic and two aromatic azides were studied and compared by the pyridine–ylide method. The relative reactivity of the species formed upon photolysis was estimated. It was shown that elongation of the conjugation chain in perfluoroaromatic azides causes bathochromic and hyperchromic shifts in the absorption spectrum, enhances photoreactivity and the rate of the intersystem conversion of the generated nitrene. Triplet sensitization of the azide photolysis with a protic solvent, methanol, was studied. Oligonucleotide derivatives of *p*-azidotetrafluorobenzaldoxime and complementary-addressed photomodification of the target DNA were synthesized. Models for photomodification of nucleic acids in a complementary complex and in solution suited for testing aromatic azides were suggested. According to these models, directed photomodification of the target DNA occurs only in a tight complex, when the distance between the target base and azide is close to a sum of their van der Waals radii.

Key words: perfluoroaromatic azide, oligonucleotides, complementary-addressed photomodification.

¹ For VI see [1].

² To whom correspondence should be addressed.